



UNIVERSITÄTS-  
BIBLIOTHEK  
PADERBORN

## **Die Statik im Stahlbetonbau**

**Beyer, Kurt**

**Berlin [u.a.], 1956**

63. Der eingespannte Bogenträger mit Belastung winkelrecht zur  
Trägerebene

---

[urn:nbn:de:hbz:466:1-74292](https://nbn-resolving.org/urn:nbn:de:hbz:466:1-74292)

oder mit

$$\vartheta_{v,k} = (w_J - w_K) / l_k$$

$$M_{y,J}^{(k)} = M_{y,J0}^{(k)} + \varphi_{v,J} \frac{4}{l_k} + \varphi_{v,K} \frac{2}{l_k} - (w_J - w_K) \frac{6}{l_k l_k'} \quad (880)$$

Das ebene Tragwerk dient in lotrechter Stellung mit waagerechter Belastung als Bogen- und Rahmenträger zur Übertragung von Wind-, Brems- und Fliehkräften und in waagerechter Lage mit senkrechter Belastung als Ringträger, Kragträger und Trägerrost. Ihre Berechnung wird auf einfache oder mehrfache Symmetrie des Tragwerks beschränkt, um auf diese Weise die wesentlichen Eigenschaften der Lösung hervortreten zu lassen und einfache Ergebnisse zu erhalten.

Seipp, H.: Theorie und Berechnung doppeltgekrümmter Freiträger. Wien 1910. — Habel, A.: Rahmenberechnung bei räumlichem Kraftangriff. Beton u. Eisen 1926 S. 214. — Derselbe: Berechnung symmetrischer mehrstieliger Rahmen. Bautechn. 1926 S. 159. — Derselbe: Die Einflußlinien des senkrecht zur Tragwandebene belasteten zweistieligen Rahmens und ihre Anwendung bei der Berechnung räumlich beanspruchter mehrstieliger Rahmenträger. Beton u. Eisen 1928 S. 46. — Worch, G.: Beitrag zur Ermittlung der Formänderungen ebener Stabzüge mit räumlicher Stützung nebst Anwendung auf die Berechnung statisch unbestimmter Systeme. Beton u. Eisen 1930 S. 167.

### 63. Der eingespannte Bogenträger mit Belastung winkelrecht zur Trägerebene.

Der Träger ist symmetrisch zur Achse, so daß jede Belastung nach S. 186 in den symmetrischen und antisymmetrischen Anteil zerlegt werden kann. Bei Symmetrie der Belastung sind die Querkraft  $Q_c$  und das Drillungsmoment  $M_a$  in der Symmetrieachse Null (Abb. 582a). Der Spannungszustand des Trägers enthält daher mit dem Biegemoment  $M_b$  in der Symmetrieachse nur eine statisch unbestimmte Schnittkraft. Dieses ist bei Antimetrie der Belastung Null, die Rechnung also mit  $M_a$  und  $Q_c$  zweifach statisch unbestimmt. Die überzähligen Größen können ebenso wie auf S. 274 durch Einführung von Gruppenlasten unabhängig voneinander berechnet werden (Abb. 582b).

Das Hauptsystem der Untersuchung besteht nach Abb. 582a aus zwei winkelrecht zur Symmetrieebene belasteten Kragträgern, deren Schnittkräfte  $M_x, M_y$  in der folgenden Transformation verwendet werden (Abb. 582c)

$$\left. \begin{aligned} M_y &= -M_I \sin \alpha - M_{II} \cos \alpha, \\ M_x &= -M_I \cos \alpha + M_{II} \sin \alpha. \end{aligned} \right\} \quad (881)$$

In dieser bedeuten  $M_I, M_{II}$  die Momente der Kräfte zwischen Scheitel und Querschnitt ( $k$ ) in bezug auf die ausgezeichneten Achsen  $I$  und  $II$  mit dem Schwerpunkt des Querschnitts als Ursprung.

$$\frac{J_c}{J_v} ds = ds', \quad \frac{E J_c}{G T} ds = \varrho ds', \quad \varrho = \frac{E J_v}{G T}.$$

Überzählige Größen Abb. 582b.

$$X_1 = -M_b, \quad X_3 = -M_a,$$

$$X_2: \text{Gruppenlast aus } -Q_c \text{ und } M_a = -Q_c b_0.$$

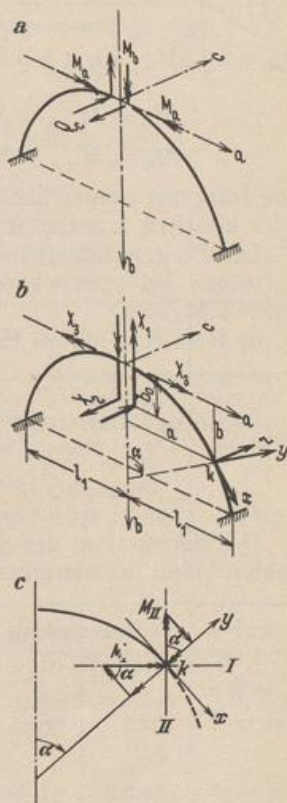


Abb. 582.

$$\begin{aligned} \text{a) Symmetrischer Anteil: } X_1 &= \delta_{10}/\delta_{11}, & X_2 &= 0, & X_3 &= 0. \\ -X_1 &= 1: & M_{y,1} &= \cos \alpha, & M_{x,1} &= -\sin \alpha, \end{aligned}$$

$$\delta_{10} = 2 \int_0^{l_1} (M_{y,0} \cos \alpha - M_{x,0} \varrho \sin \alpha) ds', \quad \delta_{11} = 2 \int_0^{l_1} (\cos^2 \alpha + \varrho \sin^2 \alpha) ds'. \quad (882)$$

$$M_y = M_{y,0} - X_1 \cos \alpha, \quad M_x = M_{x,0} + X_1 \sin \alpha. \quad (883)$$

$$\text{b) Antimetrischer Anteil: } X_1 = 0, \quad X_2 \neq 0, \quad X_3 \neq 0.$$

$$-X_2 = 1: \quad M_y = a \cos \alpha + (b - b_0) \sin \alpha, \quad M_x = -a \sin \alpha + (b - b_0) \cos \alpha.$$

$$-X_3 = 1: \quad M_y = \sin \alpha, \quad M_x = \cos \alpha.$$

Für  $\delta_{23} = 0$  ist

$$b_0 = \frac{\int_0^{l_1} [\sin \alpha (a \cos \alpha + b \sin \alpha) - \varrho \cos \alpha (a \sin \alpha - b \cos \alpha)] ds'}{\int_0^{l_1} (\sin^2 \alpha + \varrho \cos^2 \alpha) ds'} \quad (884)$$

und

$$X_2 = \delta_{20}/\delta_{22}, \quad X_3 = \delta_{30}/\delta_{33},$$

$$\delta_{20} = 2 \int_0^{l_1} \{M_{y,0} [a \cos \alpha + (b - b_0) \sin \alpha] - \varrho M_{x,0} [a \sin \alpha - (b - b_0) \cos \alpha]\} ds',$$

$$\delta_{22} = 2 \int_0^{l_1} \{[a \cos \alpha + (b - b_0) \sin \alpha]^2 + \varrho [a \sin \alpha - (b - b_0) \cos \alpha]^2\} ds', \quad (885)$$

$$\delta_{30} = 2 \int_0^{l_1} (M_{y,0} \sin \alpha + \varrho M_{x,0} \cos \alpha) ds', \quad \delta_{33} = 2 \int_0^{l_1} (\sin^2 \alpha + \varrho \cos^2 \alpha) ds',$$

$$M_y = M_{y,0} - X_2 [a \cos \alpha + (b - b_0) \sin \alpha] - X_3 \sin \alpha,$$

$$M_x = M_{x,0} + X_2 [a \sin \alpha - (b - b_0) \cos \alpha] - X_3 \cos \alpha.$$

Die Integrale werden nach Unterteilung des Bereichs  $l_1$  in Intervalle mit geometrisch oder elastisch konstanter Breite nach S. 95 numerisch berechnet.

Die Biegemomente  $M_{y,0}$  und die Drillungsmomente  $M_{x,0}$  des Hauptsystems entstehen bei symmetrischen oder antimetrischen Kräften  $\mathfrak{B}, p da$  und Kräftepaaren  $M, \mu da$ .

a) Belastung durch Einzellast  $P$  und Kräftepaar  $M$  in  $(a, b)$

$$a < a_k, \quad b < b_k; \quad M_{I,0} = P(b_k - b) + M, \quad M_{II,0} = P(a_k - a). \quad (886)$$

b) Stetige Belastung mit den Komponenten  $p, \mu$  in  $a$

$$M_{I,0} = \int_0^{a_k} [p(b_k - b) + \mu] da, \quad M_{II,0} = \int_0^{a_k} p(a_k - a) da. \quad (887)$$

Die Berechnung der Schnittkräfte bietet bei numerischer Integration der Vorzeichen keine Schwierigkeiten. Dasselbe gilt für die Einflußlinien.

#### Berechnung der Bogenbrücke S. 538 für Windbelastung.

1. Geometrische Grundlagen. Bogenform und Überbau nach S. 538. Gewölbbebreite  $d_2 = 10$  m.

$$J_v = \frac{d_1 d_2^3}{12}, \quad J_c = \frac{0,52 \cdot 10^3}{12} = 43,33 \text{ m}^4,$$

$$\varrho = \frac{E J_c}{G T J_c / J_v} = \frac{86,66}{T J_c / J_v}.$$



Berechnung für $w = 1 \text{ t/m}^2$								$w = 0,250 \text{ t/m}^2$	
$a/l_1$	$M_{y,0}$	$M_{z,0}$	$\lambda_1$	$n$	$n \lambda_1$	$\lambda_2$	$n \lambda_2$	$M_{y,0} [\text{mt}]$	$M_{z,0} [\text{mt}]$
0	0	0	0	1	0	1	1	0	0
0,1	- 1,023	- 0,387	+ 2,087	4	+ 8,348	1,332	5,328	- 0,256	- 0,0978
0,2	- 4,163	- 0,750	+ 7,873	2	+ 15,746	2,351	4,702	- 1,041	- 0,188
⋮	⋮	⋮	⋮	⋮	⋮	⋮	⋮	⋮	⋮
1	- 188,510	+ 12,995	- 754,976	1	- 754,976	31,026	31,026	- 47,128	+ 3,249
$\Sigma = - 3388,492$						$\Sigma = 420,052$			

Mit  $w = 0,250 \text{ t/m}^2$  wird

$$\frac{1}{2} \delta_{10} = - \frac{1,372}{3} \cdot 3388,492 \cdot 0,250 = - 387,417,$$

$$\frac{1}{2} \delta_{11} = + \frac{1,372}{3} \cdot 420,052 = + 192,104,$$

$$X_1 = - \frac{387,417}{192,104} = - 2,017 \text{ mt.}$$

5. Schnittkräfte und Spannungen. Nach Gl. (883) wird

$$M_y = M_{y,0} + 2,017 \cos \alpha, \quad M_x = M_{z,0} - 2,017 \sin \alpha.$$

$a/l_1$	0	0,2	0,4	0,6	0,8	1,0	
$M_y$	+ 2,017	+ 0,969	- 2,454	- 9,278	- 21,812	- 45,564	mt
$M_x$	0	- 0,360	- 0,673	- 0,780	- 0,217	+ 1,975	mt

Die Momente sind in Abb. 583 dargestellt. Die größten Spannungen treten am Kämpfer auf.

$$\sigma_x = \frac{6 M_y}{d_1 d_2^2} = \frac{6 \cdot 45,564}{0,77 \cdot 100} = 3,55 \text{ t/m}^2 = 0,36 \text{ kg/cm}^2.$$

Nach S. 30 ist nach C. Weber  $\psi_1 \approx 1$  und

$$\tau_{\max} = \frac{M_x}{T} \psi_1 d_1 = \frac{1,975}{1,462} \cdot 1 \cdot 0,77 = 1,04 \text{ t/m}^2 = 0,104 \text{ kg/cm}^2.$$

**Berechnung eines eingespannten, symmetrischen Trapezrahmens mit räumlicher Belastung.**

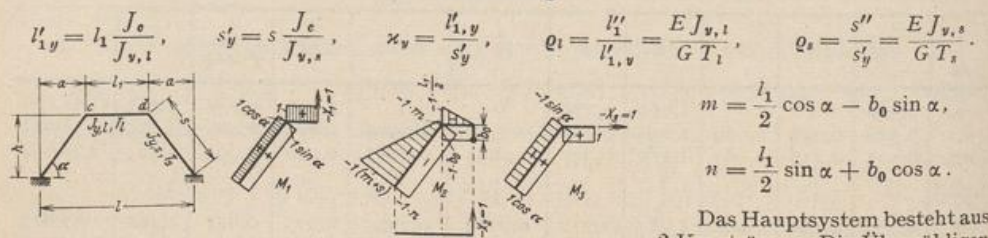


Abb. 584.

Belastung  $X_3 = \delta_{30}/\delta_{33}$  und  $X_2 = \delta_{20}/\delta_{22}$  am Hebelarm  $b_0$ , so daß  $\delta_{23} = 0$  (Abb. 584).

Vorzahlen. Mit den Abkürzungen

$$\psi_1 = 2 (\cos^2 \alpha + \varrho_s \sin^2 \alpha),$$

$$\psi_2 = 2 + 6 \frac{m}{s} \left( \frac{m}{s} + 1 \right) + \kappa_v \left( \frac{l_1}{2s} \right)^2 + 6 \varrho_s \left( \frac{n}{s} \right)^2 + 3 \kappa_v \varrho_t \left( \frac{b_0}{s} \right)^2,$$

$$\psi_3 = 2 (\sin^2 \alpha + \varrho_s \cos^2 \alpha)$$

$$\text{wird } \delta_{11} = s' (\kappa_v + \psi_1), \quad \delta_{22} = \frac{s' s^2}{3} \psi_2, \quad \delta_{33} = s' (\psi_3 + \kappa_v \varrho_t).$$

Das Hauptsystem besteht aus 2 Kragträgern. Die Überzähligen sind bei symmetrischer Belastung  $X_1 = \delta_{10}/\delta_{11}$ , bei antisymmetrischer

$$\text{Aus } \delta_{23} = 0 \text{ folgt } b_0 = \frac{[s + l_1(1 - \varrho_s) \cos \alpha] \sin \alpha}{\psi_3 + \kappa_v \varrho_l}$$

Belastung. a) Einzellast  $P$  senkrecht zur Rahmen-ebene und zwei Momente  $M_a, M_b$  in der Rahmen-ebene am Eckpunkt  $c$  (Abb. 585). Das Ergebnis wird für den symmetrischen und den antisymmetrischen Anteil getrennt angegeben.

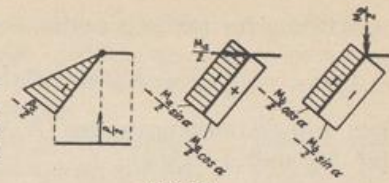


Abb. 585.

Symmetrischer Anteil	$X_1$ [mt]	Antisymmetrischer Anteil	$X_2$ [t]	$X_3$ [mt]
	$-\frac{Pa}{2} \frac{1}{\psi_1 + \kappa_v}$		$\frac{P}{2} \frac{2 + 3 \frac{m}{s}}{\psi_2}$	$\frac{Ph}{2} \frac{1}{\psi_3 + \kappa_v \varrho_l}$
	$-\frac{M_a}{2} \frac{1 - \varrho_s}{\psi_1 + \kappa_v} \frac{2ah}{s^2}$		$\frac{3}{2} \frac{M_a}{s} \frac{\Phi_2}{\psi_2}$	$\frac{M_a}{2} \frac{\psi_3}{\psi_3 + \kappa_v \varrho_l}$
	$-\frac{M_b}{2} \frac{\psi_1}{\psi_1 + \kappa_v}$		$\frac{3}{2} \frac{M_b}{s} \frac{\Phi_1}{\psi_2}$	$\frac{M_b}{2} \frac{1 - \varrho_s}{\psi_3 + \kappa_v \varrho_l} \frac{2ah}{s^2}$

$$\Phi_1 = \left(1 + 2 \frac{m}{3}\right) \cos \alpha + 2 \varrho_s \frac{n}{s} \sin \alpha, \quad \Phi_2 = \left(1 + 2 \frac{m}{3}\right) \sin \alpha - 2 \varrho_s \frac{n}{s} \cos \alpha.$$

b) Gleichmäßig verteilte, waagerechte Belastung auf dem Riegel  $l_1$  (Abb. 586). Die Belastung ist symmetrisch, daher  $X_2 = X_3 = 0$ .

$$\delta_{10} = -p s' \frac{l_1^2}{8} \left[ \frac{\kappa_v}{3} + 4 \frac{s}{l_1} \cos \alpha + \psi_1 \right],$$

$$X_1 = -p \frac{l_1^2}{8} \frac{\frac{1}{3} \kappa_v + 4 \frac{s}{l_1} \cos \alpha + \psi_1}{\kappa_v + \psi_1}.$$

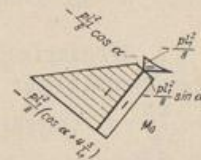


Abb. 586.

Hawranek, A.: Allgemeine Theorie der Wirkung von Querriegeln bei zweireihigen Bogenbrücken. Verhandlungen des 2. Internat. Kongr. f. Techn. Mech., Zürich 1927. — Schwarz, R.: Durchlaufende Bogen unter räumlicher Belastung. Bautechn. 1927 S. 449. — Derselbe: Berechnung des Rahmenwindverbandes von Zweigelenkbogenbrücken mit Kreisform und unveränderlichem Trägheitsmoment bei Berücksichtigung elastischer Einspannung durch die Endquerträger. Beton u. Eisen 1928 S. 31.

### 64. Der Kreisringträger.

Die allgemeine Theorie des querbelasteten Kreisringträgers ist in zahlreichen Arbeiten ausführlich behandelt worden. Sie stützen sich in der Regel auf die Gleichung der elastischen Linie. Da hier jedoch nur einzelne für den Konstrukteur wichtige Ergebnisse angegeben werden sollen, um die Eigenart des Ansatzes aufzuzeigen und die Lösung wichtiger Aufgaben zu erleichtern, wird auf die allgemeine Untersuchung der Formänderung des Trägers verzichtet.

Aus dem Gleichgewicht der äußeren Kräfte an einem Abschnitt  $ds$  folgt nach (68) und Abb. 587

$$\frac{dQ}{d\alpha} = -pr, \quad \frac{dM_x}{d\alpha} = -M_y, \quad \frac{dM_y}{d\alpha} = M_x + Qr. \quad (888)$$

Den Nullstellen des Biegemomentes  $M_y$  sind daher Größtwerte des Drillungsmomentes  $M_x$ , den Größtwerten des Biegemomentes  $M_x$  Wendepunkte der Funktion des Drillungsmomentes  $M_y$  zugeordnet.